Вестник московского университета

№ 5 — 1972

УДК 539.126

Д. В. ГАЛЬЦОВ, Ю. М. ЛОСКУТОВ, В. В. СКОБЕЛЕВ

НЕЛИНЕЙНЫЕ ВАКУУМНЫЕ ЭФФЕКТЫ В СИЛЬНОМ МАГНИТНОМ ПОЛЕ

Изучается распространение фотона в однородном постоянном магнитном поле, а также расщепление фотона в таком поле. Полученные формулы справедливы, если длина волны фотона много больше комптоновской длины волны электрона. Напряженность поля в общем случае произвольна.

Как известно, поляризация вакуума электромагнитным полем приводит к ряду нелинейных эффектов. В литературе ранее обсуждались рассеяние света на свете [1], рассеяние фотона на ядре [2] и на внешнем поле [1, 3, 4], расщепление и слияние фотонов в поле ядра [5, 6] и в однородном постоянном электромагнитном поле [7, 8]. В данной работе рассмотрено распространение фотона в однородном магнитном поле произвольной напряженности В, а также расщепление фотона в таком поле. Эти вопросы достаточно подробно были освещены в [3, 7, 8] для случая $B \ll B_0 (B_0 = m^2/e = 4.41 \cdot 10^{13} \text{ гс})$, но эффекты оказались ничтожно малыми, так что реально их, видимо, можно обнаружить лишь при $B > B_0$. В [4] рассматривалось распространение фотона в скрещенном поле произвольной величины. В этом случае оба инварианта поля равны нулю, и вычисления весьма просто могут быть проведены в картине Фарри, так как соответствующая функция Грина вычисляется точно [9]. Однако поле подобного типа с напряженностью порядка B_0 вряд ли реализуется в природе. В то же время постоянные магнитные поля такой величины могут возникнуть в результате гравитационного коллапса звезд. Сейчас считается, что магнитное поле таких объектов может достигать 10^{12-13} гс [10]. Таким образом, изучение нелинейных явлений в сильных магнитных полях является вполне оправданным.

Метод Гейзенберга — Эйлера

Электромагнитные взаимодействия без участия реальных электронов и позитронов описываются эффективным лагранжианом Гейзенберга—Эйлера [9, 11], если характерная частота процесса $\omega \ll m$ (m — масса электрона). Этот лагранжиан имеет вид

$$L = -F - \frac{1}{8\pi^2} \int_0^\infty \frac{ds}{s^3} e^{-m^2 s} \left\{ (es)^2 G - \frac{\text{Re ch } esX}{\text{Im ch } esX} - 1 - \frac{2}{3} (es)^2 F \right\},$$
(1)

где

$$F=rac{1}{4}\,F_{\mu
u}^2 \qquad G=rac{i}{8}\,\epsilon_{\mu
u\lambda\sigma}\,F_{\mu
u}\,F_{\lambda\sigma}, \quad X^2=2F+2i\,G.$$

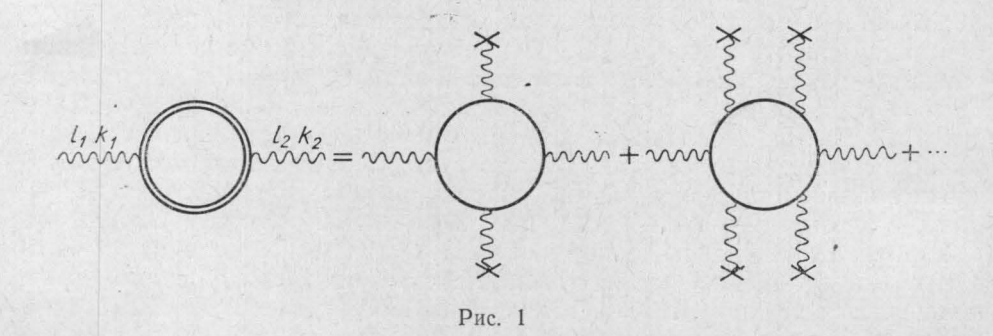
Согласно принципу универсальности электромагнитного взаимодействия под $F_{\mu\nu}$ надо понимать сумму внешнего электромагнитного поля $F_{\mu\nu}^{(e)}$ и квантованного поля фотоном $f_{\mu\nu}$. Учитывая последнее по обычной теории возмущений, можно разложить (1) в ряд по степеням $f_{\mu\nu}$:

$$L = L^{(0)} + L^{(1)} + L^{(2)} + \dots, \qquad L^{(n)} = H_{i_1 j_1 \dots i_n j_n} f_{i_1 j_1 \dots j_n j_n}.$$
 (2)

Член $L^{(n)}$ соответствует процессу с участием n фотонов, причем взаимодействие с внешним полем $F_{\mu\nu}^{(e)}$ учитывается точно.

Распространение фотона в постоянном и однородном магнитном поле

Взаимодействие фотона с электронно-позитронным вакуумом в присутствии внешнего электромагнитного поля приводит к тому, что показатель преломления фотона в такой среде становится отличным от единицы. В основном порядке по постоянной тонкой структуры α это взаимодействие описывается совокупностью диаграмм, приведен-



ных на рис. 1. Суммарный матричный элемент такого процесса в однородном магнитном поле определяется выражением

$$\langle 2 | S^{(2)} | 1 \rangle = i \int d^4x \, \langle 2 | L^{(2)} | 1 \rangle =$$

$$= \frac{\alpha}{45i} \frac{(2\pi)^3}{\omega B_0^2} \delta^{(4)} (k_1 - k_2) \, \{ 3A_1 \, (kF^{(e)} e_1) \, (kF^{(e)} e_2) - 7A_2 e_{1\sigma} \, e_{2\sigma} \, (F^{(e)}_{\mu\nu} \, k_{\nu})^2 \},$$
(3)

где $(aF^{(e)}b)=a_{\mu}F^{(e)}_{\mu\nu}b_{\nu},\,k_1=k_2=k$ — импульсы фотонов, e_1 и e_2 — их векторы поляризации, причем $\omega=|k|\ll m$. Коэффициенты A_i зависят от поля и имеют вид

$$A_{1} = 15 \left(\frac{B_{0}}{B}\right)^{2} \int_{0}^{\infty} dx \, e^{-\frac{B_{0}}{B}x} \operatorname{ch} x \, \frac{x^{2}}{\operatorname{sh}^{2}x} \left\{-\frac{2}{3} \, \frac{d}{dx} \left(\frac{1}{x} \, \frac{d}{dx}\right)^{2} \operatorname{ch} x + \frac{1}{\operatorname{sh} x} \left[\frac{d}{dx} \left(\frac{1}{x} \operatorname{sh} x\right)\right]^{2}\right\},$$

$$A_{2} = \frac{45}{14} \left(\frac{B_{0}}{B}\right)^{2} \int_{0}^{\infty} dx \, e^{-\frac{B_{0}}{B}x} \, \frac{x}{\operatorname{sh} x} \left\{-\frac{1}{3} \operatorname{ch} x \, \frac{x}{\operatorname{sh} x} \, \frac{d}{dx} \left(\frac{1}{x} \, \frac{d}{dx}\right)^{2} \operatorname{ch} x + \frac{d}{dx} \left(\frac{1}{x} \operatorname{sh} x\right)\right\}. \tag{4}$$

Отсюда следует, что при $B \ll B_0$

$$A_1 = A_2 = 1,$$
 (5a)

а при $B\gg B_0$

$$A_1 = 5 \frac{B_0}{B}, \qquad A_2 = \frac{15}{7} \frac{B_0}{B}, \qquad (56)$$

т. е. как в первом, так и во втором предельном случае матричный

элемент является возрастающей функцией поля.

В постоянном однородном магнитном поле могут распространяться волны двух типов — поляризованные параллельно (||) и перпендикулярно (\perp) вектору $F_{i\mu}k_{\mu}=[\overrightarrow{Bk}]_{i}$. В самом деле из (3) следует, что только такие фотоны не меняют своей поляризации. В общем случае эти волны имеют разные показатели преломления [3]. Формула (3) позволяет найти свертку поляризационного оператора $\Pi_{\mu\nu}(k)$ с единичным вектором поляризации фотона e_{μ} при $k^{2}=0$:

$$e_{\mu} \Pi_{\mu\nu}(k) e_{\nu} = -\frac{\alpha i}{45\pi B_0^2} \{3A_1 (\kappa F^{(e)} e)^2 - 7A_2 (F_{\mu\nu}^{(e)} k_{\nu})^2\}. \tag{6}$$

Используя уравнение Дайсона для фотонной функции Грина $G^{(\gamma)}\left(k\right)$

$$G^{(\gamma)}(k) = D_c(k) + D_c(k) \Pi(k) G^{(\gamma)}(k), \quad D_c(k) = \frac{1}{ik^2},$$
 (7)

получаем связь между частотой и волновым вектором

$$\vec{k^2} - \omega^2 = -ie_{\mu} \prod_{\mu\nu} (k) e_{\nu},$$

откуда находим

$$n = \frac{|\vec{k}|}{\omega} \approx 1 + \frac{\alpha}{90\pi B_0^2} \{7A_2(\vec{Be})^2 + (7A_2 - 3A_1)(\vec{Bb})^2\},$$
(8)

где \vec{b} — единичный вектор в направлении магнитного поля волны. Это равенство справедливо, если

$$|n-1| \ll 1. \tag{9}$$

Из (8) видно, что показатели преломления для обеих волн действительно различны. В частности, при $B\!\ll\!B_0$

$$n_{\parallel} \approx 1 + \frac{2\alpha}{45\pi} \left(\frac{B}{B_0}\right)^2 \sin^2\theta, \quad n_{\perp} \approx 1 + \frac{7\alpha}{90\pi} \left(\frac{B}{B_0}\right)^2 \sin^2\theta, \quad (10a)$$

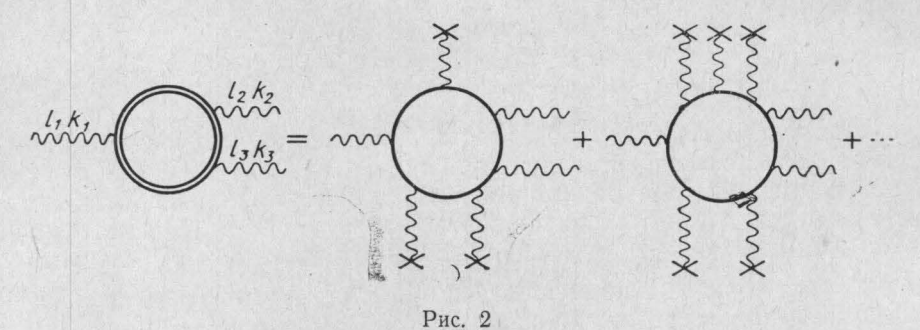
а при $B \gg B_0$

$$n_{\parallel} - 1 \ll n_{\perp} - 1$$
, $n_{\perp} \approx 1 + \frac{\alpha}{6\pi} \frac{B}{B_0} \sin^2\theta$, (106)

где θ — угол между \vec{k} и \vec{B} . В обоих предельных случаях распространение является каузальным, поскольку n>1. Заметим, что полученные в этом разделе результаты в частном случае $B \ll B_0$ совпадают с [3].

Расщепление фотона в постоянном и однородном магнитном поле

Как показано в [8], возможным является расщепление только на два фотона, ибо фазовый объем конечных состояний с большим числом фотонов обращается в нуль, если все фотоны находятся на массовой



поверхности $k^2=0$ (учет влияния поля на распространение фотонов приводит к поправкам более высокого порядка по α). Таким образом, в основном приближении по α данный процесс изображается суммой диаграмм, представленных на рис. 2. Учитывая, что согласно законам сохранения импульсы конечных фотонов параллельны импульсу начального, для матричного элемента получаем:

$$\begin{split} \langle 2,\ 3\,|\,S^{(3)}\,|\,1\rangle &= i\int d^4x\,\langle 2,\ 3\,|\,L^{(3)}\,|\,1\rangle = \\ &= e^3\,(2\pi)^{7/2}\,\frac{2}{315}\cdot\!\left(\frac{B\sin\theta}{B_0}\right)^3\!\left(\frac{\omega}{m}\right)^2\!\left(\frac{[\omega]}{\omega_2\omega_3}\right)^{1/2}\delta^{(4)}\left(k_1-k_2-k_3\right)\lambda\left(1-\lambda\right)\times\\ &\times \{30C_1\left(\vec{e}_1\vec{N}\right)\left(\vec{e}_2\vec{N}\right)\left(\vec{e}_3\vec{N}\right) - 26C_2\left[\left(\vec{e}_2\vec{e}_3\right)\left(\vec{e}_1\vec{N}\right) + \left(\vec{e}_2\vec{e}_1\right)\left(\vec{e}_3\vec{N}\right) + \left(\vec{e}_1\vec{e}_3\right)\left(\vec{e}_2\vec{N}\right)\right]\}, (11)\\ \text{где } \vec{k}_1 &= \vec{k}, \quad \vec{k}_2 = \lambda\vec{k}, \quad \vec{k}_3 = (1-\lambda)\,\vec{k}, \quad 0 \ll \lambda \ll 1, \quad \vec{N} = [\vec{k}\vec{B}]/\omega B\sin\theta,\\ \text{а коэффициенты } C_i \text{ имеют вид} \end{split}$$

$$C_{1} = \frac{21}{4} \left(\frac{B_{0}}{B}\right)^{4} \int_{0}^{\infty} dx e^{-\frac{B_{0}}{B}x} \operatorname{ch} x \frac{x^{4}}{\operatorname{sh}^{2}x} \left\{ \frac{d}{dx} \left(\frac{1}{x} \frac{d}{dx}\right)^{3} \operatorname{ch}x + \right.$$

$$\left. + 3 \frac{1}{\operatorname{sh}^{2}x} \left[\frac{d}{dx} \left(\frac{1}{x} \operatorname{sh} x\right) \right]^{3} - 4 \frac{1}{\operatorname{sh}x} \left[\frac{d}{dx} \left(\frac{1}{x} \operatorname{sh} x\right) \right] \times \right.$$

$$\left. \times \left[\frac{d}{dx} \left(\frac{1}{x} \frac{d}{dx}\right)^{2} \operatorname{ch} x \right] \right\}, \tag{12}$$

$$C_{2} = \frac{105}{104} \left(\frac{B_{0}}{B}\right)^{4} \int_{0}^{\infty} dx \, e^{-\frac{B_{0}}{B}} \frac{x^{3}}{\sinh x} \left\{ \cosh x \frac{x}{\sinh x} \frac{d}{dx} \left(\frac{1}{x} \frac{d}{dx}\right)^{3} \cosh x + \right.$$

$$\left. + 3 \frac{1}{\sinh x} \left[\frac{d}{dx} \left(\frac{1}{x} \sinh x\right) \right]^{2} - 2 \frac{d}{dx} \left(\frac{1}{x} \frac{d}{dx}\right)^{2} \cosh x - 2 \frac{\cosh x}{\sinh x} \cdot \frac{x}{\sinh x} \times \right.$$

$$\left. \times \left[\frac{d}{dx} \left(\frac{1}{x} \sinh x\right) \right] \left[\frac{d}{dx} \left(\frac{1}{x} \frac{d}{dx}\right)^{2} \cosh x \right] \right\}.$$

Как уже отмечалось, применимость этих формул ограничена условием $\omega = |k| \ll m$. Коэффициенты C_i в разложении по степеням B/B_0 содержат лишь четные степени этого отношения, поэтому матричный элемент в согласии с теоремой Фарри содержит только нечетные степени поля.

Рассмотрим реакции с участием фотонов, поляризованных параллельно (||) и перпендикулярно (\perp) вектору N. Из (11) следует, что реакции с участием нечетного числа фотонов типа 1 запрещены во всех порядках по полю. Как отмечено в [7], это связано с СР инвариантностью квантовой электродинамики. Для обратных длин пробега «параллельных» и «перпендикулярных» фотонов относительно разрешенных распадов получаем:

$$I_{\parallel \to \parallel + \parallel}^{-1} = \frac{\alpha^{3}}{60\pi^{2}} \cdot \frac{1}{(315)^{2}} \left(\frac{^{7}B\sin\theta}{B_{0}}\right)^{6} \left(\frac{\omega}{m}\right)^{5} (30 C_{1} - 78 C_{2})^{2} m,$$

$$I_{\parallel \to \perp + \perp}^{-1} = \frac{1}{2} I_{\perp \to \perp + \parallel}^{-1} = \frac{\alpha^{3}}{60\pi^{2}} \left(\frac{26}{315}\right)^{2} \left(\frac{B\sin\theta}{B_{0}}\right)^{6} \left(\frac{\omega}{m}\right)^{5} C_{2}^{2} \cdot m. \tag{13}$$

В отличие от [7] эти формулы справедливы для любых значений В и являются более общими. В частности, при $B \ll B_0$, $C_i = 1$ [7], а при $B\gg B_0$

$$C_1 = \frac{21}{4} \left(\frac{B_0}{B}\right)^3, \quad C_2 = \frac{105}{52} \left(\frac{B_0}{B}\right)^3,$$

и, следовательно,

$$l_{\parallel \rightarrow \parallel + \parallel}^{-1} \ll l_{\parallel \rightarrow \perp + \perp}^{-1},$$

$$l_{\parallel \rightarrow \perp + \perp}^{-1} = \frac{1}{2} l_{\perp \rightarrow \perp + \parallel}^{-1} = \frac{\alpha^3}{2160} \sin^6 \theta \left(\frac{\omega}{m}\right)^5 m. \tag{14}$$

Таким образом, в области $B \gg B_0$ длина пробега вообще не от поля.

Из изложенного выше можно сделать вывод, что приведенные в [7] оценки величины эффекта в предполагаемых условиях пульсаров для $B \sim B_0$ приблизительно соответствуют точному результату (13). Более того, выведенные в [7] из неравенства $n_{\perp} > n_{\Pi}$ правила отбора можно распространить и на случай $6\pi/\alpha \gg B/B_0 \gg 1$, поскольку в этой области имеет место то же соотношение (10б).

ЛИТЕРАТУРА

Karplus R., Neuman M. Phys. Rev., 83, 776, 11951.
 Delbruck M. Z. Physik., 84, 1144, 1933.

3. Baier R., Breitenlohner. Nuovo Cim., 47B, 1117, 11967.

4. Нарожный Н. Б. ЖЭТФ, 55, 714, 1968.

5. Shima Y. Phys. Rev., 142, 944, 1966.
6. Constantini V., Pistoni G., Detollis B. Nuovo Cim., 46A, No 4, 1966.
7. Adler S. L., Bahcall I. N., Callan C. G., Rosenbluth M. N. Phys. Rev. Lett., 25, 1061, 1970.
8. Bialynicka-Birula Z. J. Phys. Rev., 20, 2341, 1970.
9. Schwinger J. Phys. Rev., 82, 664, 1951.
10. Гинзбург В. Л., Железняков В. В., Зайцев В. В. «Успехи физических наук», 98, 201, 1969.
11. Heisenberg W., Euler H. Zs. f. Phys., 98, 714, 1936.

Поступила в редакцию 20.5 1971 г.

Кафедра теоретической физики